

### Punilla norte - Pcia. Córdoba

Estación: **Pampa de Olaen** (2400 INA-CIRSA)  
(31°11'27" S; 64°36'26" O; 1256 msnm)

Período: 1992-2024

Longitud de registro: 26 años



#### Modelo DIT\*

$$\ln i_{d,T} = A \cdot \phi_T - B \cdot \delta_d + C$$

$$\phi_T = 2,584458 \cdot (\ln T)^{3/8} - 2,252573$$

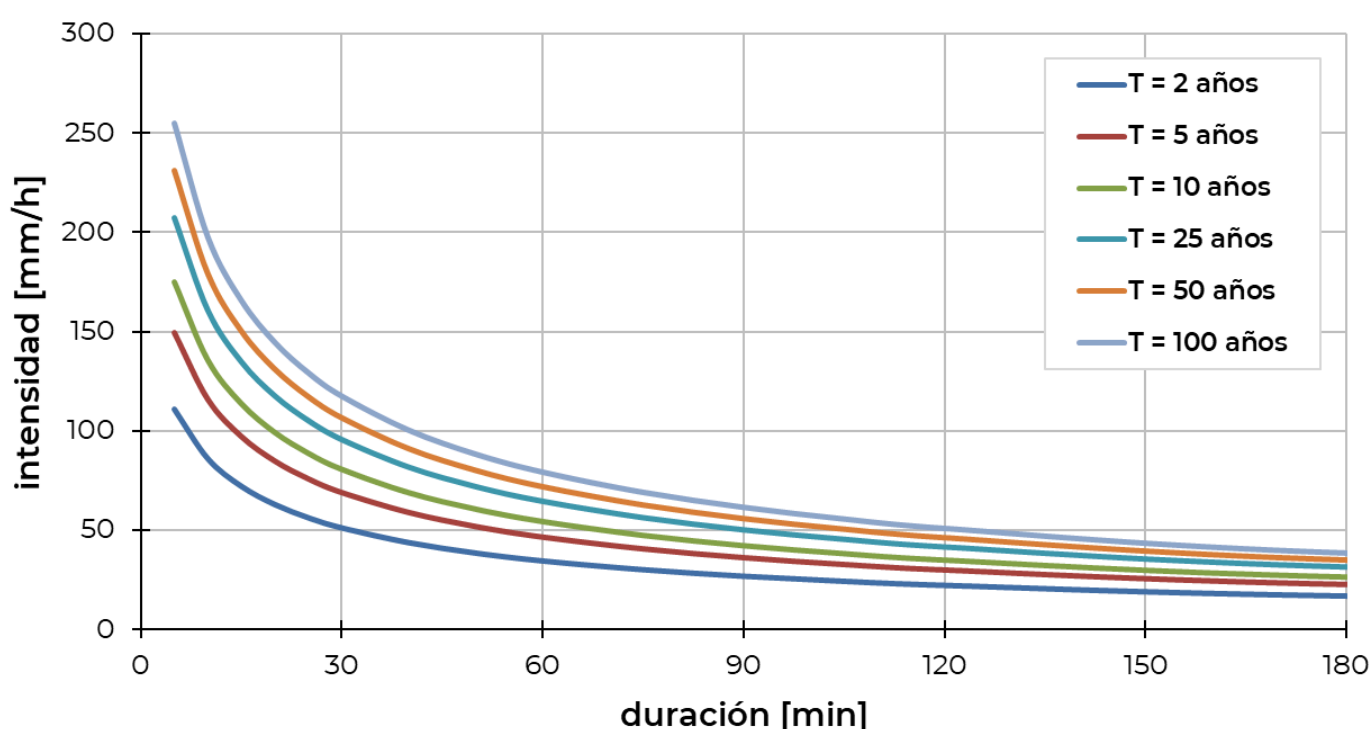
$$\delta_d = (\ln d)^{5/3}$$

*i* = intensidad [mm/h], *d* = duración [min], *T* = recurrencia [años]

#### Curva IDF

Parámetros ajustados

A = 0,358     μ = 4,129  
B = 0,141     σ = 0,409  
C = 5,019



Periodo de retorno [años]	Intensidad de lluvia <i>i</i> ( <i>d</i> , <i>T</i> ) [mm/h]					Lamina de lluvia <i>h</i> ( <i>d</i> , <i>T</i> ) [mm]				
	Duración [min]					Duración [min]				
	60	120	180	360	1440	60	120	180	360	1440
2	34,5	22,2	16,8	10,1	3,2	34	44	50	61	77
5	46,5	29,9	22,7	13,6	4,3	47	60	68	82	104
10	54,5	35,1	26,6	15,9	5,1	55	70	80	96	122
25	64,6	41,6	31,5	18,9	6,0	65	83	94	113	144
50	72,0	46,3	35,1	21,1	6,7	72	93	105	126	161

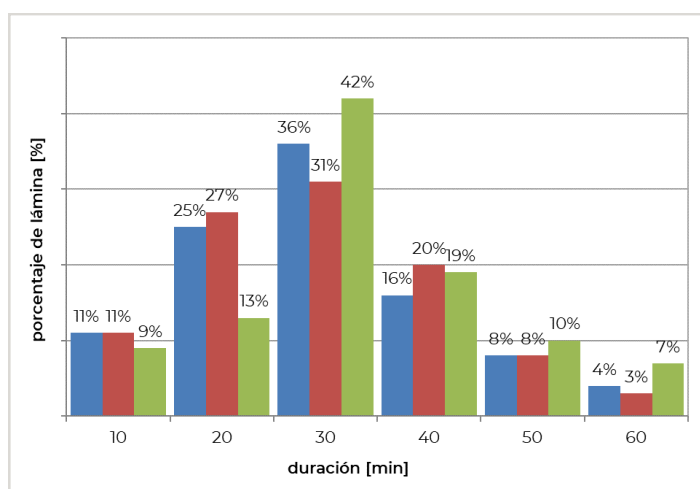
\* Caamaño Nelli, G y. Dasso C.; (2003). "Lluvias de Diseño: Conceptos, Técnicas y Experiencias". Editorial Universitas. ISBN: 987-9406-43-5. Córdoba, Argentina.  
Caamaño Nelli, G. y C. García. (1999). "Relación intensidad-duración-recurrencia de lluvias máximas: Enfoque a través del factor de frecuencia - caso lognormal". Ingeniería Hidráulica de México, Vol. XIV, N° 3, pp. 37-44

### Hietogramas tipo

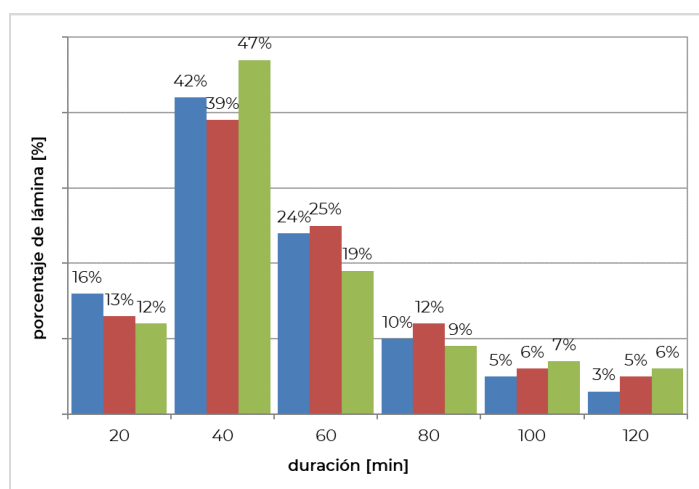
Porcentaje de lluvia acumulada para cada sextil

■ Pilgrim   ■ Huff   ■ Bloque alterno

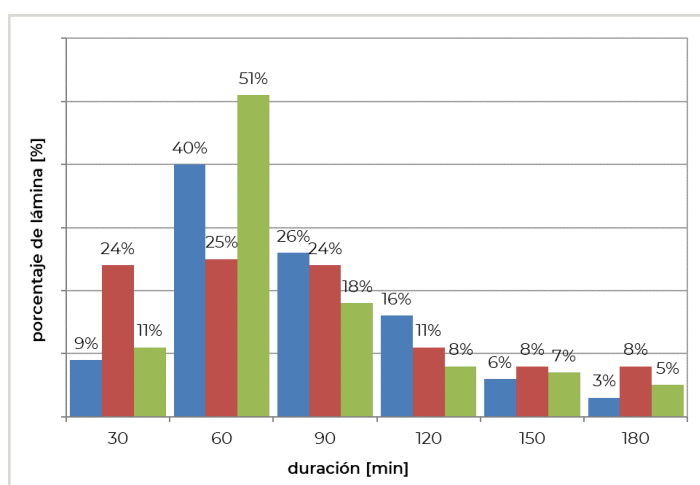
d = 60min



d = 120min



d = 180min



d = 360min

